



پایان نامه کارشناسی ارشد مخابرات سیستم

طراحی و پیاده سازی سیستم انتقال صدای دیجیتال،
برای وسایل نقلیه زیر آبی در حال حرکت، مبتنی بر
OFDM

توسط:

سید محمود جعفری صادقی

اساتید راهنما:

دکتر مصطفی درختیان

دکتر محمدعلی مسندی شیرازی

اسفند ماه ۱۳۹۰

الله رب العالمين
لهم آمين

اطهارنامه

اینجانب سید محمود جعفری صادقی (۸۸۸۵۶۶) دانشجوی رشته‌ی مهندسی برق گرایش مخابرات سیستم دانشکده‌ی مهندسی برق و کامپیوتر اطهار می‌کنم که این پایان نامه حاصل پژوهش خودم بوده و در جاهایی که از منابع دیگران استفاده کرده‌ام، نشانی دقیق و مشخصات کامل آن را نوشتته‌ام. همچنین اطهار می‌کنم که تحقیق و موضوع پایان نامه‌ام تکراری نیست و تعهد می‌نمایم که بدون مجوز دانشگاه دستاوردهای آن را منتشر ننموده و یا در اختیار غیر قرار ندهم. کلیه حقوق این اثر مطابق با آیین نامه مالکیت فکری و معنوی متعلق به دانشگاه شیراز است.

نام و نام خانوادگی: سید محمود جعفری صادقی

تاریخ و امضا ۱۳۹۰/۱۲/۲۰

تقدیم به

مادرم، پدرم

سپاسگزاری

در اینجا بربخود لازم می دانم که از کلیه افرادی که به نحوی مرا در انجام این پایان نامه یاری رساندند، تشکر و قدردانی نمایم. به خصوص استاد گرامی، جناب آقای دکتر مصطفی درختیان که در تمامی مراحل انجام این پروژه به اینجانب یاری رساندند و جناب آقای دکتر محمد علی مسندي شيرازي که همانند پدری دلسوز با کمکها و راهنمایی های بی دریغ خود، مرا در انجام این پایان نامه همراهی کردند؛ و همچنان آقایان دکتر عزيزالله جمشيدی و دکتر محمود كريمي که همواره راهنمای و مشوق من بوده اند؛ و در نهايت تمامی دوستانی که در طول انجام این پایان نامه همراه و راهنمای من بوده‌اند.

چکیده

طراحی و پیاده سازی سیستم انتقال صحبت دیجیتال، برای وسایل نقلیه زیر آبی در حال حرکت، مبتنی بر OFDM

توسط

سید محمود جعفری صادقی

به دلیل وجود نمک و املاح بسیار در آب دریاها، امکان انتشار امواج الکترومغناطیسی در محیط زیر آب وجود ندارد. به همین دلیل، سال هاست که مخابرات دریایی مورد توجه دانشمندان قرار گرفته است. منظور از مخابرات دریایی، ارسال اطلاعات، با استفاده از امواج صوتی می باشد. سال ها، ارتباط زیر دریایی ها با سطح آب، از طریق سیستم های آنالوگ انجام می گرفته است. از مهمترین معايیر سیستم های آنالوگ می توان کیفیت و امنیت پایین این سیستم ها را نام برد. در این پایان نامه، روند طراحی یک سیستم تمام دیجیتال، برای برقراری ارتباط صوتی امن در محیط دریاهای، بررسی گردیده و در نهایت سیستم پیاده سازی شده است. شبیه سازی هایی برای تعیین مدل کانال آکوستیکی خلیج فارس انجام شده و سیستم بر اساس این پارامترها، طراحی و ساخته شده است. برای مقابله با پدیده چند مسیرگی کانال های آکوستیکی زیر آبی، از تکنیک OFDM بهره برده ایم. روش های کاهش نسبت توان ماکریزیم به توان متوسط در سیستم های OFDM را مورد مطالعه قرار داده ایم. این سیستم برخلاف سایر سیستم های موجود، قابلیت استفاده در حین حرکت را نیز دارد. روش های مقابله با پدیده مقیاس داپلر که در اثر حرکت نسبی میان فرستنده و گیرنده به وجود می آید، بررسی شده و روش مناسب پیاده سازی شده است. روش جدیدی برای تخمین آفست فرکانس حامل، با استفاده از زیر حامل های مجازی نیز ارائه شده است. روش های تخمین کانال به صورت همدوس و ناهمدوس نیز مورد مطالعه قرار گرفته است. همچنین، روش های حذف ICI ناشی از پخش داپلر در سیستم های OFDM، مورد بررسی قرار گرفته و روشی ابتکاری برای پیاده سازی آنها ارائه داده ایم. سیستم به دو صورت مبتنی بر PC و مبتنی بر DSP پیاده سازی شده است. سیستم مبتنی بر PC در واقع، تنها یک نرم افزار می باشد که می توان آن را بر روی هر کامپیوتر یا لپ تاپی نصب کرد و این برنامه با استفاده از کارت صوتی دستگاه اقدام به دریافت و ارسال سیگنال می کند. سیستم مبتنی بر DSP بر روی برد پردازشی DSK6713 پیاده سازی گردیده است. با توجه به شبیه سازی ها، پیش بینی می شود که سیستم بردى معادل حداقل ۶ کیلومتر را دارا بوده و حداقل سرعت مجاز برای استفاده از این سیستم، ۱۵ متر بر ثانیه خواهد بود.

فهرست مطالب

۱	فصل اول: مقدمه
۲	۱-۱- اهداف این پایان نامه
۴	۲-۱- مروری بر فعالیت های گذشته
۵	۳-۱- روش و مراحل انجام پروژه
۹	فصل دوم: کanal آکوستیکی زیر آب
۱۰	۱-۲- مقدمه
۱۱	۲-۲- تضعیف و نویز
۱۵	۳-۲- چند مسیره بودن
۲۵	۴-۲- تغییر پذیری با زمان
۲۷	۵-۲- اثر داپلر
۳۰	۶-۲- مدل نهایی کanal
۳۲	فصل سوم: مقدمه ای بر OFDM
۳۳	۱-۳- مفاهیم پایه ای
۳۴	۲-۳- پیاده سازی با استفاده از FFT
۳۷	۳-۳- بیان برداری مدل‌سیون OFDM
۳۹	۴-۳- مزایا و معایب سیستم های OFDM
۴۱	فصل چهارم: طراحی سیستمی فرستنده
۴۲	۱-۴- محدودیت های سخت افزاری
۴۳	۲-۴- ساختار فرستنده
۴۴	۳-۴- فشرده سازی صوت
۴۷	۴-۴- رمزگاری HC-128
۴۹	۵-۴- کدینگ کanal و مدل‌سیون
۵۱	۶-۴- کاهش PAPR
۵۲	۱-۶-۴- قطع و فیلتر کردن سیگنال
۵۷	۲-۶-۴- وارد کردن تن های خارج از باند (OTI)
۶۲	۷-۴- مقایسه روش های مقابله با IBI
۶۳	۸-۴- ساختار سمبل های OFDM و فریم بندی اطلاعات
۷۰	۹-۴- انتخاب پارامترهای سیستم
۷۱	۱۰-۴- انتقال به باند میانی
۷۳	فصل پنجم: طراحی سیستمی گیرنده

۱-۵	- ساختار گیرنده	۷۴
۲-۵	- انتقال به باند پایه	۷۶
۳-۵	- آشکارسازی فریم و همزمان سازی زمانی	۷۷
۴-۵	- تخمین و جبران مقیاس داپلر	۸۶
۵-۵	- گیرنده OLA	۸۹
۱-۵-۵	- روش MMSE برای تخمین سمبل ها	۹۰
۲-۵-۵	- روش زیر بهینه OLA	۹۰
۳-۵	- تخمین و جبران آفست فرکانس حامل	۹۲
۷-۵	- تخمین کanal و حذف ICI	۹۷
۱-۷-۵	- روش کمترین مربعات (LS)	۹۸
۲-۷-۵	- تخمین کanal با روش درون یابی خطی	۱۰۳
۳-۷-۵	- تخمین کanal در حضور پخش داپلر	۱۰۶
۴-۷-۵	- تخمین ماتریس CSI به کمک الگوریتم گرادیان	۱۱۰
۵-۷-۵	- روش اکولایزر حوزه فرکانس برای جبران ICI	۱۱۲
۸-۵	- دمدلاسیون و دکدینگ کanal	۱۱۵
۱-۸-۵	- روش تصمیم گیری سخت	۱۱۵
۲-۸-۵	- روش تصمیم گیری نرم	۱۱۶
۹-۵	- شبیه سازی کل سیستم	۱۱۸
۱۲۲	فصل ششم: نتیجه گیری و پیشنهادات	
۱-۶	- مقدمه	۱۲۳
۲	- پیاده سازی به صورت نرم افزاری، مبتنی بر PC	۱۲۳
۳-۶	- نتیج آزمایش های هوایی	۱۲۵
۴-۶	- بررسی پاسخ کanal در هوا	۱۲۶
۲-۳-۶	- بررسی سیگنال دریافت شده در هوا	۱۲۹
۴-۶	- نتایج آزمایش های دریایی	۱۳۲
۵-۶	- پیاده سازی سخت افزاری بر روی برد DSK6713	۱۳۵
۶-۶	- پیشنهادات	۱۳۶
۱۳۸	منابع و مرجع	

فهرست جداول

جدول (۱-۲) مسیرهای در نظر گرفته شده برای کانال تاخییر و دامنه نسبی هریک.....	۳۱
جدول (۱-۴) پارامترهای سیستم.....	۷۰
جدول (۱-۶) شرایط محیطی در آزمایش دریایی.....	۱۳۳

فهرست شکل ها

۷	شكل (۱-۱) بلوک دیاگرام کلان پروژه.....
۱۲	شكل (۱-۲) ضریب جذب، ($10\log(a(f)) [dB / Km]$) بر حسب
۱۳	شكل (۲-۲) چگالی طیفی توان نویز محیطی.....
۱۴	شكل (۳-۲) وابستگی نسبت سیگنال به نویز در یک کانال آکوستیکی به فرکانس و فاصله [۱].....
۱۶	شكل (۴-۲) شکل گیری چند مسیره ای در آب های کم عمق و عمیق. در پایین سرعت صوت بر حسب عمق آب، نمایش داده شده است [۱].....
۱۸	شكل (۵-۲) پاسخ کانال آکوستیک نوعی [۱].....
۲۰	شكل (۶-۲) نقشه عمق آب های خلیج فارس [۳۸].....
۲۱	شكل (۷-۲) نقشه سرعت صوت در آب های خلیج فارس، کلیه اعداد با m/s ۱۵۰۰ جمع گردد [۳۸].
۲۲	شكل (۸-۲) سیگنال های دریافتی در گیرنده، تاخیر و دامنه هریک (عمق کانال : ۳۰ متر).....
۲۳	شكل (۹-۲) نمایش هندسی مسیر پرتو ها (عمق کانال : ۳۰ متر).....
۲۳	شكل (۱۰-۲) سیگنال های دریافتی در گیرنده، تاخیر و دامنه هریک (عمق کانال : ۵۰ متر).....
۲۴	شكل (۱۱-۲) نمایش هندسی مسیر پرتو ها (عمق کانال : ۵۰ متر).....
۲۴	شكل (۱۲-۲) سیگنال های دریافتی در گیرنده، تاخیر و دامنه هریک (عمق کانال : ۷۰ متر).....
۲۵	شكل (۱۳-۲) نمایش هندسی مسیر پرتو ها (عمق کانال : ۷۰ متر).....
۲۷	شكل (۱۴-۲) پروفایل شدت چند مسیره ای، تغییرات زمانی دامنه و هیستوگرام مسیرهای دریافتی [۱] a,b,c,d
۳۰	شكل (۱۵-۲) مدل نهایی کانال.....
۳۵	شكل (۱-۳) بلوک دیاگرام فرستنده OFDM
۳۵	شكل (۲-۳) بلوک دیاگرام گیرنده OFDM [۳۶].....
۳۶	شكل (۳-۳) استفاده از پیشوند پرخشی برای جلوگیری از ISI بین سمبل های OFDM [۳۶].....
۳۶	شكل (۴-۳) چگالی طیفی توان ($s(t)$) [۳۶].....
۴۲	شكل (۱-۴) پاسخ فرکانسی مبدل آکوستیکی مورد استفاده در پروژه.....
۴۳	شكل (۲-۴) ساختار کلی فرستنده.....
۴۶	شكل (۳-۴) بلوک دیاگرام فشرده ساز صوتی MELPe [۳۷].....
۴۸	شكل (۴-۴) رمز نگاری رشته ای (Scrambling).....
۵۰	شكل (۵-۴) بلوک دیاگرام کدر کانال.....
۵۱	شكل (۶-۴) صورت فلکی مدل‌سیون QPSK با کدینگ گری.....
۵۴	شكل (۷-۴) بهره بهینه برای قطع سیگنال ($N = 256$).....
۵۴	شكل (۸-۴) بهره بهینه برای قطع سیگنال ($N = 512$).....
۵۶	شكل (۹-۴) بهره بهینه به ازاء مقادیر مختلف وایانس نویز.....
۵۶	شكل (۱۰-۴) توان ICI به ازاء مقادیر مختلف آستانه.....

..... شکل (۱۱-۴) توان ICI در زیرحاممل های مختلف	۵۷
..... شکل (۱۲-۴) مقایسه روش های کاهش PAPR	۵۹
..... شکل (۱۳-۴) سیگنال های کلیپ شده، کلیپ نشده و سیگنال OTI در حوزه زمان	۶۰
..... شکل (۱۴-۴) چگالی طیفی توان سیگنال های شکل (۱۳-۴)	۶۱
..... شکل (۱۵-۴) نرخ خطای بیت با استفاده از روش های مختلف کاهش PAPR	۶۱
..... شکل (۱۶-۴) نحوه تخصیص زیرحاممل های OFDM	۶۴
..... شکل (۱۷-۴) ساختار فریم در این پروژه	۶۴
..... شکل (۱۸-۴) فرکانس لحظه ای سیگنال HFM با حضور و بدون حضور مقیاس داپلر [۴۵]	۶۷
..... شکل (۱۹-۴) فرکانس لحظه ای HFM ترکیبی [۴۵]	۶۷
..... شکل (۲۰-۴) نمایش حوزه زمان سیگنال های مشخص کننده فریم	۶۸
..... شکل (۲۱-۴) چگالی طیفی توان سیگنال های مشخص کننده فریم	۶۹
..... شکل (۲۲-۴)تابع خود همبستگی سیگنال های مشخص کننده فریم	۷۰
..... شکل (۲۳-۴) انتقال سیگنال باند پایه به باند میانی	۷۱
..... شکل (۱-۵) ساختار کلی گیرنده	۷۴
..... شکل (۲-۵) پاسخ فرکانسی فیلتر میان گذر مورد استفاده	۷۵
..... شکل (۳-۵) انتقال سیگنال به باند پایه	۷۶
..... شکل (۴-۵) پاسخ فرکانسی فیلتر پایین گذر بخش انتقال به باند پایه	۷۷
..... شکل (۵-۵) احتمال هشدار کاذب بر حسب واریانس نویز گیرنده	۷۹
..... شکل (۶-۵) میانگین مربعات خطای SNR برای سیگنال LFM	۸۰
..... شکل (۷-۵) احتمال آشکارسازی بر حسب SNR برای سیگنال LFM	۸۰
..... شکل (۸-۵) میانگین مربعات خطای SNR برای سیگنال HFM	۸۱
..... شکل (۹-۵) احتمال آشکارسازی بر حسب SNR برای سیگنال HFM	۸۱
..... شکل (۱۰-۵) میانگین مربعات خطای SNR برای سیگنال HFM ترکیبی	۸۲
..... شکل (۱۱-۵) احتمال آشکارسازی بر حسب SNR برای سیگنال HFM ترکیبی	۸۲
..... شکل (۱۲-۵) میانگین مربعات خطای SNR برای چرپ های مختلف با طول زمانی ۱۶ میلی ثانیه	۸۳
..... شکل (۱۳-۵) احتمال آشکارسازی بر حسب SNR برای چرپ های مختلف با طول زمانی ۱۶ میلی ثانیه	۸۳
..... شکل (۱۴-۵) منحنی ROC برای چرپ HFM با طول ۴ میلی ثانیه	۸۴
..... شکل (۱۵-۵) منحنی ROC برای چرپ HFM با طول ۸ میلی ثانیه	۸۵
..... شکل (۱۶-۵) منحنی ROC برای چرپ HFM با طول ۱۶ میلی ثانیه	۸۵
..... شکل (۱۷-۵) میانگین مربعات خطای برای تخمین گر مقیاس داپلر	۸۷
..... شکل (۱۸-۵) مقایسه روش های تخمین و جبران مقیاس داپلر	۸۹
..... شکل (۱۹-۵) مقایسه روش های آشکارسازی سمبول های OFDM	۹۲

..... شکل (۲۰-۵) میانگین مربعات خطأ برای تخمین آفست فرکانس بر حسب SNR	۹۶
..... شکل (۲۱-۵) احتمال خطأ بر بیت بر حسب SNR در حضور آفست فرکانس	۹۷
..... شکل (۲۲-۵) احتمال خطأ بر بیت بر حسب SNR برای $N = 256$ برای روش LS	۱۰۰
..... شکل (۲۳-۵) میانگین مربعات خطأ بر حسب SNR برای $N = 256$ برای روش LS	۱۰۰
..... شکل (۲۴-۵) احتمال خطأ بر بیت بر حسب SNR برای $N = 512$ برای روش LS	۱۰۱
..... شکل (۲۵-۵) میانگین مربعات خطأ بر حسب SNR برای $N = 512$ برای روش LS	۱۰۱
..... شکل (۲۶-۵) احتمال خطأ بر بیت بر حسب SNR برای روش LS به ازاء N های مختلف	۱۰۲
..... شکل (۲۷-۵) میانگین مربعات خطأ بر حسب SNR برای روش LS به ازاء N های مختلف	۱۰۲
..... شکل (۲۸-۵) احتمال خطأ بر بیت بر حسب SNR برای $N = 256$ برای روش درون یابی خطی	۱۰۴
..... شکل (۲۹-۵) میانگین مربعات خطأ بر حسب SNR برای $N = 256$ برای روش درون یابی خطی	۱۰۴
..... شکل (۳۰-۵) احتمال خطأ بر بیت بر حسب SNR برای $N = 512$ برای روش درون یابی خطی	۱۰۵
..... شکل (۳۱-۵) میانگین مربعات خطأ بر حسب SNR برای $N = 512$ برای روش درون یابی خطی	۱۰۵
..... شکل (۳۲-۵) احتمال خطأ بر بیت بر حسب SNR با استفاده از روش های مختلف تخمین کانال	۱۰۶
..... شکل (۳۳-۵) احتمال خطأ بر بیت بر حسب ماکریم پخش داپلر برای روش LS	۱۰۷
..... شکل (۳۴-۵) احتمال خطأ بر بیت بر حسب ماکریم پخش داپلر برای روش درون یابی خطی	۱۰۷
..... شکل (۳۵-۵) احتمال خطأ بر بیت بر حسب ماکریم پخش داپلر برای مدلسیون تفاضلی	۱۰۸
..... شکل (۳۶-۵) احتمال خطأ بر بیت بر حسب ماکریم پخش داپلر برای کلیه روش ها	۱۰۸
..... شکل (۳۷-۵) بلوک دیاگرام روش FD-RLS-DFE برای حذف ICI [۵۲]	۱۱۲
..... شکل (۳۸-۵) احتمال خطأ بر بیت بر حسب SNR با کمک و بدون کمک جبران سازهای ICI	۱۱۳
..... شکل (۳۹-۵) مقایسه اثر تعداد قطرهای ماتریس C بر کیفیت جبران ICI	۱۱۴
..... شکل (۴۰-۵) احتمال خطأ بر بیت بر حسب ضرائب همگرایی γ	۱۱۴
..... شکل (۴۱-۵) مقایسه روش های مختلف دکدینگ، احتمال خطأ بر حسب SNR	۱۱۷
..... شکل (۴۲-۵) استفاده از LLR تقریبی بدون دانستن مقدار σ ²	۱۱۸
..... شکل (۴۳-۵) احتمال خطأ بر بیت بر حسب SNR در شرایط ساکن	۱۱۹
..... شکل (۴۴-۵) احتمال خطأ بر بیت بر حسب SNR برای سرعت های مختلف	۱۱۹
..... شکل (۴۵-۵) احتمال خطأ در هر فریم ارسالی برای کانال رایس و سرعت نسبی 5 m/s	۱۲۰
..... شکل (۴۶-۵) احتمال BER > 0.05 بر حسب SNR	۱۲۰
..... شکل (۴۷-۵) احتمال خطأ بر بیت بر حسب SNR به ازاء مقادیر مختلف K-Factor در شرایط ساکن	۱۲۱
..... شکل (۱-۶) نمایی از GUI برنامه طراحی شده	۱۲۴
..... شکل (۲-۶) نمایی از آزمایش نرم افزار به کمک دو لپ تاپ	۱۲۶
..... شکل (۳-۶) سیگنال کاوشگر کانال	۱۲۷
..... شکل (۴-۶) سیگنال کاوشگر دریافتی در گیرنده	۱۲۸
..... شکل (۵-۶) خروجی فیلتر منطبق بر سیگنال کاوشگر ارسالی	۱۲۸

..... شکل (۶-۶) پاسخ ضربه کانال آکوستیکی هوا	۱۲۹
..... شکل (۷-۶) یک فریم از سیگنال ارسالی حاوی داده	۱۳۰
..... شکل (۸-۶) طیف سیگنال ارسالی حاوی داده	۱۳۰
..... شکل (۹-۶) سیگنال حاوی داده دریافتی در گیرنده	۱۳۱
..... شکل (۱۰-۶) طیف سیگنال حاوی داده دریافتی در گیرنده	۱۳۱
..... شکل (۱۱-۶) صورتی فلکی سمبول های دریافتی در هوا	۱۳۲
..... شکل (۱۲-۶) موقعیت فرستنده و گیرنده بر روی نقشه گوگل	۱۳۳
..... شکل (۱۳-۶) صورت فلکی سمبول های دریافتی در آزمایش دریایی	۱۳۴
..... شکل (۱۴-۶) پاسخ ضربه کانال در آزمایش دریایی	۱۳۴
..... شکل (۱۵-۶) بورد DSK-6713 به همراه فشرده ساز صوتی ساخت افزاری	۱۳۶

فصل اول

مقدمه

۱-۱- اهداف این پایان نامه

می توان گفت که اقیانوس ها در بردارنده بخش عظیمی از منابع تحت اختیار انسان، در کره زمین می باشند. منابع عظیم نفت و گاز، منابع غنی غذایی و دارویی در آب های کره خاکی یافت می شوند. همچنین، اهمیت دریا ها، جهت حمل و نقل بر کسی پوشده نیست. در هنگام جنگ نیز، دریا ها از نقاط استراتژیک جنگی به حساب می آیند.

به دلیل وجود نمک و املاح بسیار در آب دریا ها، امکان انتشار امواج الکترومغناطیسی در زیر آب، وجود ندارد. به همین دلیل، سال هاست که مخابرات دریایی مورد توجه دانشمندان قرار گرفته است. منظور از مخابرات دریایی، ارسال اطلاعات، با استفاده از امواج صوتی^۱ می باشد. مخابرات دریایی آنالوگ، قدمتی بسیار طولانی دارد. سال ها، ارتباط زیر دریایی ها با سطح آب، از طریق سیستم های آنالوگ انجام می گرفته است.

در ۳۰ سال گذشته، تکنیک های مخابرات دیجیتال، جایگاه ویژه ای در دنیای مخابرات ماهواره ای، شبکه های موبایل سلولی و همچنین جایگاه ویژه ای در مخابرات زیر آب، پیدا کرده است. کیفیت بالای سیستم های دیجیتال و امکان رمز گذاری، از مزایای چنین سیستم هایی هستند.

در این پایان نامه، هدف ما ساخت یک بیسیم دریایی دیجیتال^۲ برای شناور های در حال حرکت می باشد، که در کشور ما ایران، اولین نمونه به حساب می آید. برخی کاربرد های این بیسیم دریایی به شرح زیر است :

- ارتباط صوتی بین دو زیر دریایی
- ارتباط صوتی بین یک زیر دریایی با یک کشتی در سطح آب
- ارتباط بین غواص با زیردریایی ها یا کشتی های روی سطح آب

¹ Acoustic Waves

² Walkie-Talkie

- ارتباط بین دو کشتی روی آب، زمانی که دلایل امنیتی و یا وجود پارازیت در محیط، امکان استفاده از بیسیم هوایی وجود نداشته باشد.

متاسفانه در کشور عزیز ما ایران، همچنان از نسل اول بیسیم های دریایی آنالوگ استفاده می شود. از آنجایی که، در این این سیستم ها یا بدون رمزگاری و یا با رمزگاری های بسیار ساده اقدام به ارسال سیگنال می کنند، امکان شنود اطلاعات برای دشمن به سادگی امکان پذیر است. سیستم های مخابراتی دیجیتال از مزایای بسیاری نسبت به سیستم های مخابراتی آنالوگ برخوردارند. از جمله این مزایا می توان موارد ذیل را نام برد:

- امکان استفاده از الگوریتم های رمزگاری^۱ پیشرفته، جهت مخفی نگه داشتن اطلاعات

- استفاده از روش های کدینگ کانال^۲ برای کاهش خطا و بهبود کیفیت
- کیفیت ایده آل تا حد مشخصی از نسبت سیگنال به نویز^۳ (SNR)
- امکان استفاده برای شناورهای در حال حرکت
- امکان ارسال و دریافت فایل های داده، نظری عکس، فیلم و ...

این پایان نامه شامل کلیه مراحل طراحی و پیاده سازی سیستم فوق ذکر می باشد و خروجی آن دستگاه بیسیم دیجیتال دریایی خواهد بود. با توجه به شرایط حساس کشورمان، این سیستم جهت استفاده در مناطق جنوبی کشور از جمله خلیج فارس، تنگه هرمز و دریای عمان طراحی و ساخته شده است. امیدواریم توانسته باشیم با انجام این پروژه، قدم کوچکی در جهت خدمت به میهن عزیzman برداریم.

¹ Encryption

² Channel Coding

³ Signal-to-Noise Ratio

۱-۲- مروری بر فعالیت های گذشته

همانطور که ذکر شد، استفاده از بسیم های زیرآبی سابقه ای بسیار طولانی دارد. سال های پس از جنگ جهانی دوم، مخابرات دریایی مورد تحقیق و توجه ویژه دانشمندان قرار گرفت. در سال های اولیه پس از جنگ جهانی دوم، روش های مدلسیون آنالوگ نظری مدلسیون دامنه^۱ (AM) و مدلسیون تک-باند^۲ (SSB) در مخابرات آکوستیکی زیر آب، به کار گرفته شد. مدلسیون فرکانسی^۳ (FM) به دلیل محدود بودن پهنای باند کanal آکوستیکی زیر آب^۴ (UWA) مورد توجه قرار نگرفت.

با پیشرفت تکنولوژی ساخت قطعات الکترونیکی و ظهور پردازنده های سریع در دهه ۱۹۸۰ میلادی، امکان استفاده از مدلسیون های دیجیتال در مخابرات زیر آب فراهم گردید. در این ده از مدلسیون های ناهمدوس^۵ نظری کلید زنی شیفت فرکانسی^۶ (FSK) و کلید زنی شیفت فاز تفاضلی^۷ (DPSK) برای ارسال داده های دیجیتال استفاده می شد [۲۶-۲۹]. به دلیل پایین بودن راندمان پهنای باند^۸ در چنین مدلسیون هایی، نرخ داده بسیار محدود بوده و معمولاً حتی از یک کیلوبریت بر ثانیه تجاوز نمی کرد. به دلیل چرخش های سریع فاز در کanal های آکوستیکی زیر آب، امکان استفاده از مدلسیون های همدوس تک حامل (هم-فاز)^۹ تا سال ۱۹۹۴ میسر نگردید. در [۳۰] روشی برای ترکیب حلقه قفل فاز^{۱۰} (PLL) با همسان ساز^{۱۱} ارائه گردیده که امکان استفاده از مدلسیون های همدوس، نظری کلید زنی شیفت فاز^{۱۲} (PSK) و

^۱ Amplitude Modulation

^۲ Signle-Side Band Modulation

^۳ Frequency Modulation

^۴ Underwater Acoustic Channel

^۵ Non-Coherent

^۶ Frequency Shift Keying

^۷ Differntially Phase Shift Keying

^۸ Bandwidth Efficiency

^۹ Phase Coherent Single-Carrier Modulations

^{۱۰} Phase Locked Loop

^{۱۱} Equalizer

^{۱۲} Phase Shift Keying

مدل‌سیون متعامد دامنه^۱ (QAM) را امکان پذیر می‌سازد. در [۳۱] سیستمی با استفاده از این تکنیک ساخته شده است.

در صنایع دریایی کشورمان، نمونه هایی وارداتی از سیستم های مخابراتی دیجیتال همدوش وجود دارد که نوخ ارسال داده در آنها حتی کمتر از ۲ کیلو بیت بر ثانیه است و امکان استفاده از این سیستم ها برای ارسال و دریافت صدای دیجیتال وجود ندارد. تنها نمونه بیسیم دیجیتال موجود در کشور تا پایان سال ۱۳۹۰ شمسی، توسط اینجانب در دانشکده مهندسی برق و کامپیوتر دانشگاه شیراز تحت نظر استاد محترم جناب آقای دکتر عزیزا... جمشیدی طراحی و ساخته شده است و به عنوان طرح جایگزین خدمت سربازی به صنایع الکترونیک شیراز (صنعت دریایی) ارائه گردیده است.

پس از آن که تکنیک مالتی پلکس تقسیم فرکانسی متعامد^۲ (OFDM) در مخابرات بیسیم مورد استفاده قرار گرفت (در ساخت سیستم های امروزی نظیر^۳ ADSL و WiMax از این تکنیک بهره می گیرند)، محققین به فکر استفاده از این تکنیک در مخابرات آکوستیکی زیرآب افتادند. استفاده از این تکنیک در ده گذشته بسیار فراگیر شده و همچنان ادامه دارد [۱۳]. نسل چهارم تلفن های همراه نیز مبتنی بر تکنیک OFDM می باشند. در [۳۳-۳۵] نمونه های از استفاده از تکنیک OFDM در مخابرات آکوستیکی زیرآب یافت می شود.

از آنجایی که پدیده چند مسیرگی^۴ از مشکلات اساسی کانال های آکوستیکی زیرآب به شمار می آید، برآن شدیم تا در این پایان نامه بر خلاف سیستم تک حاملی که در گذشته طراحی کرده بودیم، از تکنیک OFDM برای مقابله با چند مسیرگی کانال استفاده کنیم. در فصول بعد اطلاعات بیشتری راجع به مزایای تکنیک OFDM ارائه خواهیم کرد.

۱-۳- روشن و مراحل انجام پروژه

¹ Quadrature Amplitude Modulation

² Orthogonal Frequency Division Multiplexing

³ Asymmetric Digital Subscribers Line

⁴ Multipath Phenomenon

در این پایان نامه، سیستم بیسیم زیرآبی دیجیتال را با استفاده از تکنیک های رادیویی نرم افزاری^۱ (SDR) پیاده سازی می کنیم. تکنیک SDR بدین شکل است که تمامی الگوریتم های پردازشی سیستم به صورت نرم افزاری درون یک پردازنده (DSP^۲ یا PC^۳) پیاده سازی شده و تنها قطعات خارجی مورد نیاز، مبدل های آکوستیکی^۴ و تقویت کننده های مورد نیاز می باشد. خروجی این پایان نامه به دو صورت زیر خواهد بود:

- یک نرم افزار که بروی Laptop یا PC نصب می شود و کلیه عملیات ارسال و دریافت صدای دیجیتال را به صورت Real-Time انجام می دهد.
- سیستم سخت افزاری ساخته شده با استفاده از پردازنده TMS320C6713 ساخت شرکت Texas Instrument که مستقل از کامپیوتر می تواند به صورت زمان-واقعی^۵ عملیات دریافت و ارسال صدا را انجام دهد.

در شکل (۱-۱)، نمای کلی پروژه را مشاهده می کنید. برد مورد نظر در این پروژه ۳ کیلومتر می باشد و انتظار می رود سیستم بتواند تا سرعت های نسبی ۱۵ متر بر ثانیه را پشتیبانی کند.

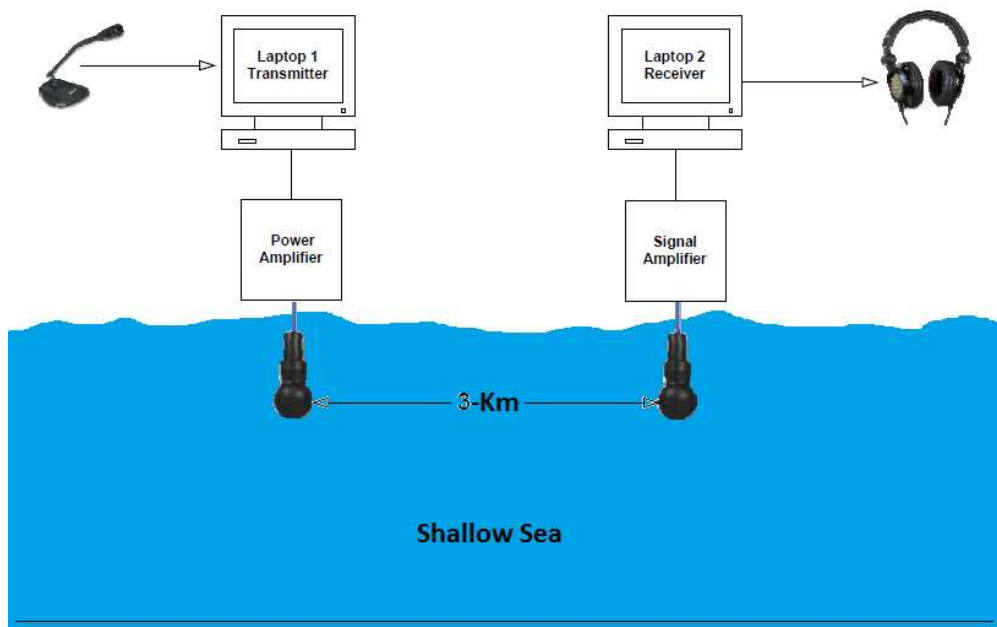
¹ Software-Defined Radio

² Personal Computer

³ Digital Signal Processor

⁴ Acoustic Transducers

⁵ Real Time



شکل (۱-۱) بلوک دیاگرام کلان پروژه

این سیستم برای استفاده در آب های بسیار کم عمق^۱ خلیج فارس (عمق کمتر از ۵۰ متر) طراحی شده که نسبت به آب های عمیق تر دارای چند مسیرگی بیشتر می باشند. بنابراین انتظار می رود که سیستم در آبهای عمیق^۲ نظیر دریای عمان، عملکرد بسیار بهتری از خود نشان دهد.

مراحل طی شده برای ساخت این سیستم به شرح زیر است:

- مطالعه تئوری و شبیه سازی کانال آکوستیکی خلیج فارس
- طراحی سیستمی فرستنده با توجه به پارامترهای کانال
- طراحی سیستمی گیرنده و شبیه سازی کامپیوتری الگوریتم های پردازشی گیرنده
- مدل سازی فرستنده و گیرنده به کمک نرم افزار MATLAB Simulink
- تبدیل مدل فرستنده و گیرنده به کد برنامه نویسی C توسط نرم افزار
- تبدیل کد به صورت دستی Real-Time Workshop^۳
- کامپایل کد C برای اجرا بر روی PC/Laptop

¹ Very shallow waters

² Deep waters

³ این نرم افزار بخشی از نرم افزار MATLAB Simulink می باشد.